

Исследование и реализация алгоритма Snow Ablation Optimizer (SAO)

1. Теоретическое обоснование алгоритма Snow Ablation Optimizer (SAO)

Алгоритм Snow Ablation Optimizer (SAO) основан на процессах испарения и таяния снега. Данный алгоритм состоит из двух ключевых стадий – исследование и эксплуатация. Подобный подход позволяет предотвратить преждевременную сходимость алгоритма. Алгоритм SAO применим в решении задач оптимизации и в инженерном проектировании. Впервые данный алгоритм был предложен китайскими исследователями Линьюнь Дэном и Саньяном Ли в 2023 году. SAO относится к алгоритмам роевого интеллекта [1].

Если стадия исследования направлена на нахождение агентами поиска несколько локальных минимум, то стадия эксплуатации служит для быстрого достижения сходимости к глобальному оптимальному решению. Иными словами, алгоритм SAO призван найти баланс между разнообразием роя и его преждевременной сходимостью.

В основе алгоритма лежит физический процесс сублимации снега на стадии исследования и процессах таяния снега, а также испарения на стадии эксплуатации. Данный процесс представлен на рисунке 1.

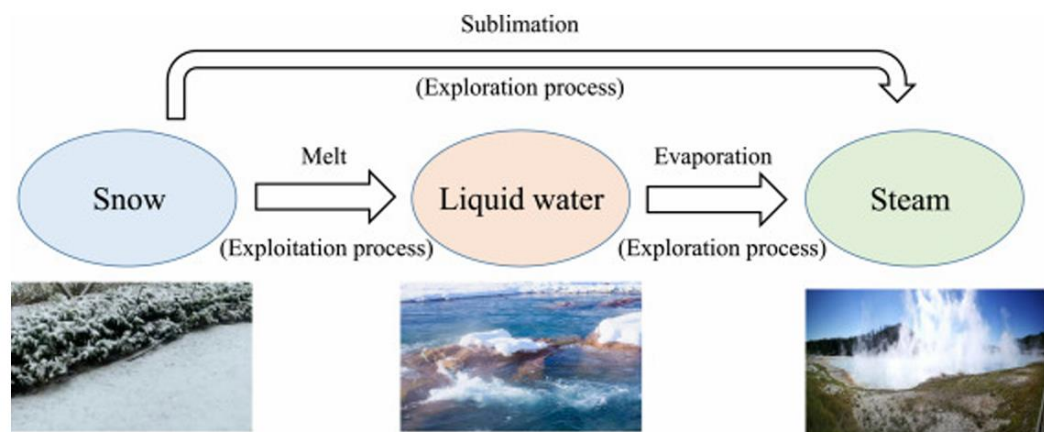


Рисунок 1 – Физические процессы, протекающие в снеге

Алгоритм SAO можно свести к двум большим этапам – инициализация двух подпопуляций агентов поиска и непосредственно сам алгоритм SAO. Представим псевдокод инициализации популяции.

Алгоритм 1. Инициализация двух популяций

Вход: N - размер популяции.

Выход: две случайно сгенерированные подпопуляции одинакового размера.

1. Initialization: $t = 0, t_{max}, t_{min}, N_a = N_b = \frac{N}{2}$, где N обозначает размер популяции
2. while ($t < t_{max}$) do
3. if $N_a < N$ then
4. $N_a = N_a + 1, N_b = N_b + 1$
5. end if
6. $t = t + 1$
7. end while

Популяция P разделяется на две подпопуляции одинакового размера – P_a и P_b с целью сохранения баланса между стадией исследования и эксплуатации. P_a участвует в стадии исследования, а P_b - в стадии исследования.

Популяция представляет собой матрицу $N * D$, где N – размер роя, а D – размерность пространства поиска. Матрица имеет следующий вид:

$$Z = L + \phi * (U - L) = \begin{bmatrix} Z_{1,1} & \cdots & Z_{1,Dim} \\ \vdots & \ddots & \vdots \\ Z_{N,1} & \cdots & Z_{N,Dim} \end{bmatrix}_{N*Dim}, \quad (1)$$

где L и U обозначают нижнюю и верхнюю границы пространства поиска, а ϕ – случайное число, полученное в диапазоне $[0,1]$.

На стадии исследования снег превращается в пар, а агенты поиска децентрализованы и характеризуются неравномерным движением. Для описания данного физического процесса используется броуновское движение:

$$f_{BM}(x; 0,1) = \frac{1}{\sqrt{2\pi}} * \exp(-\frac{x^2}{2}) \quad (2)$$

Броуновское движение позволяет исследовать потенциальные области в пространстве поиска и описывает распространение пара в пространстве поиска. Для вычисления позиций агентов поиска на стадии исследования используется следующая формула [2]:

$$Z_i(t + 1) = Elite(t) + BM_i(t) \oplus \left(\Theta_1(G(t) - Z_i(t)) + (1 - \Theta) * (\bar{Z}(t) - Z_i(t)) \right), \quad (3)$$

где $Z_i(t)$ - i -ый индивид на i -ой итерации; $BM_i(t)$ - вектор, содержащий случайные числа на основе нормального распределения и обозначающий броуновское движение; Θ – случайное число из диапазона $[0,1]$; $G(t)$ – текущее наилучшее решение; $Elite(t)$ – случайная особь из набора нескольких элит в рое; $\bar{Z}(t)$ – положение центра тяжести всего роя.

Для вычисления положения центра тяжести всего роя используется следующая формула:

$$\bar{Z}(t) = \frac{1}{N} \sum_{i=1}^N Z_i(t), Elite(t) \in [G(t), Z_{second}(t), Z_{third}(t), Z_c(t)], \quad (4)$$

где $Z_{second}(t)$ и $Z_{third}(t)$ – второй и третий лучший индивид в текущей популяции; $Z_c(t)$ – центроидное положение индивидуумов с высокими физическими показателями. Для упрощения вычислений первые 50% индивидуумов признаются лидерами.

Для вычисления центроидного положения индивидуумов с высокими физическими показателями используется следующая формула:

$$Z_c(t) = \frac{1}{N_l} \sum_{i=1}^{N_l} Z_i(t), \quad (5)$$

где N_l – количество лидеров (половина размера всего роя), $Z_i(t)$ – i -ый лучший лидер. На каждой итерации $Elite(t)$ выбирается случайным образом

из набора, состоящего из наилучшего решения, второго по результативности индивидуума, третьего по результативности индивидуума и центральной позиции лидеров.

На стадии эксплуатации агенты поиска находят наилучшие решения. Данная стадия основана на физическом процессе таяния снега. Для моделирования данного процесса используется **методика подсчета градусо-дней**:

$$M = DDF * (T - T_1), \quad (6)$$

где M – скорость таяния снега, T – средняя дневная температура, T_1 – базовая температура, обычно устанавливаемая в 0. Таким образом, формула приобретает следующий вид:

$$M = DDF * T,$$

где DDF обозначает коэффициент градусо-дней в диапазоне [0.35, 0.6].

На каждой итерации значение DDF обновляется следующим образом:

$$DDF = 0.35 + 0.25 * \frac{e * \frac{t}{t_{max}} - 1}{e - 1} * T(t), T(t) = e^{\frac{-t}{t_{max}}}, \quad (6)$$

На стадии эксплуатации решается следующее уравнение обновления позиций агентов:

$$Z_i(t + 1) = M * G(t) + BM_i(t) \oplus \left(\Theta_2 * (G(t) - Z_i(t)) + (1 - \Theta_2) * (\bar{Z}(t) - Z_i(t)) \right), \quad (7)$$

где M – скорость таяния снега, Θ_2 – случайное число в диапазоне [-1, 1], $\Theta_2 * (G(t) - Z_i(t))$ и $(1 - \Theta_2) * (\bar{Z}(t) - Z_i(t))$ – перекрестные члены, необходимые для поиска решений в пространствах поиска.

Таким образом, алгоритм SAO можно представить следующим образом:

$$Z_i(t + 1) = \begin{cases} Elite(t) + BM_i(t) \oplus \left(\Theta_1(G(t) - Z_i(t)) + (1 - \Theta) * (\bar{Z}(t) - Z_i(t)) \right), & i \in index_a \\ M * G(t) + BM_i(t) \oplus \left(\Theta_2 * (G(t) - Z_i(t)) + (1 - \Theta_2) * (\bar{Z}(t) - Z_i(t)) \right), & i \in index_b \end{cases} \quad (7)$$

Представим псевдокод алгоритма SAO.

Алгоритм 2. Алгоритм SAO

Вход: N - размер популяции.

Выход: две случайно сгенерированные подпопуляции одинакового размера.

1. Initialization: swarm $Z_i (i = 1, 2, \dots, N), t = 0, t_{max}, N_a = N_b = \frac{N}{2}$
2. Fitness evaluation
3. Record the current best individual $G(t)$
4. **while** ($t < t_{max}$) **do**
5. Calculate the snowmelt rate M
6. Randomly divide the whole population P into two subpopulations P_a and P_b
7. **for** each individual **do**
8. Update each individual's position
9. **end for**
10. Fitness evaluation
11. Update $G(t)$
12. $t = t + 1$
13. **end while**
14. Return $G(t)$

Для вычисления скорости таяния снега на шаге 5 используется следующая формула, которая выводится из формулы (6):

$$M = \left(0.35 + 0.25 * \frac{e * \frac{t}{t_{max}} - 1}{e - 1} \right) * T(t), \text{ где } T(t) = e^{\frac{-t}{t_{max}}}, \quad (8)$$

На шаге 8 обновление позиций каждого индивидуума производится с помощью формулы (7).

2. Исследование алгоритма SAO

Алгоритм SAO был реализован на языке программирования Python с целью исследования его эффективности его работы при поиске минимума функции. Алгоритм был протестирован на 6 различных тестовых функциях. Приведем примеры данных функций. Полный проект доступен по соответствующей ссылке [3]. Был реализован в текстовом редакторе Visual Studio Code на Python 3.8.0.

Функция Химмельбрау представляет собой мультимодальную функцию двух переменных и определяется формулой [4]:

$$f(x, y) = (x^2 + y - 11)^2 + (x + y^2 - 7)^2. \quad (9)$$

Функция имеет четыре равнозначных локальных минимума:

- $f(3, 2) = 0$,
- $f(-2,805118 \dots, 3,131312 \dots) = 0$,
- $f(-3,779310 \dots, -3,283186 \dots) = 0$,
- $f(3,584428 \dots, -1,848126 \dots) = 0$.

График нахождения локального минимума функции показан на рисунке 2.

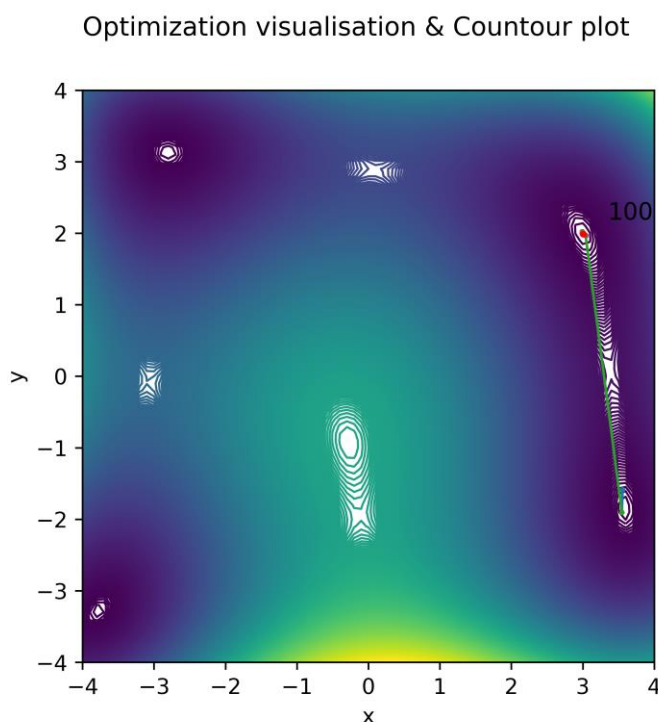


Рисунок 2 – Результат нахождения локального минимума функции Химмельбрау на диапазоне [-4, 4]

В результате работы алгоритма был найден минимум в точке $x_{\min} = (3.004962015164989, 1.9888963735952516)$ со значением функции $f_{\min} = 0.0018962174384222292$, что соответствует локальному минимуму $f(3,2) = 0$. Были заданы параметры: SearchAgents_no = 200, Max_iteration = 100, dim = 2, диапазон [-4, 4].

При задании другого диапазона был найден другой локальный минимум $x_{\min} = (-2.8226935592873694, 3.133119746859477)$, $f_{\min} = 0.010183366953105233$, что соответствует локальному минимуму $f(-2,805118 \dots, 3.131312 \dots) = 0$. Как видно из результатов, удалось достичь точность вычислений 10^{-1} в худшем случае для x и 10^{-2} в лучшем случае для y . Результат работы алгоритма показан на рисунке 3.

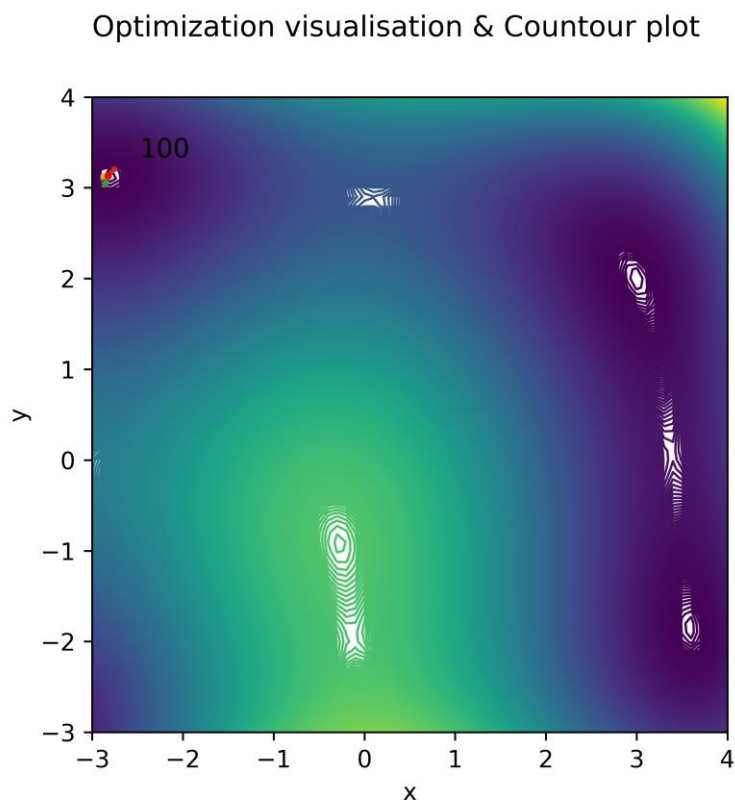


Рисунок 3 – Результат работы алгоритма на примере функции Химмельбрау на диапазоне [-3, 4]

Функция Розенброка представляет собой невыпуклую функцию. Имеет локальный минимум в точке $(x, y) = (1, 1)$, где $f(x, y) = 0$. Определяется следующим образом:

$$f(x, y) = (1 - x^2)^2 + 100(y - x^2)^2. \quad (10)$$

Наиболее оптимальных результатов удалось достичь при следующих параметрах: SearchAgents_no = 100, Max_iteration = 100, dim = 2, диапазон [-2, 2]. Был найден минимум в точке $x_{\min} = (1.0134041589034808, 1.0284917440860266)$ со значением $f_{\min} = 0.00040579932671104$. Удалось достичь точности 10^{-1} . При увеличении числа итераций до 300 теряется точность вычислений: при SearchAgents_no = 100, Max_iteration = 300, dim = 2, диапазон [-2, 2] был найден минимум в точке $x_{\min} = (0.9969552191143654, 0.9951433211800746)$, $f_{\min} = 0.00015899338709566082$ за 100 шагов.

Optimization visualisation & Countour plot

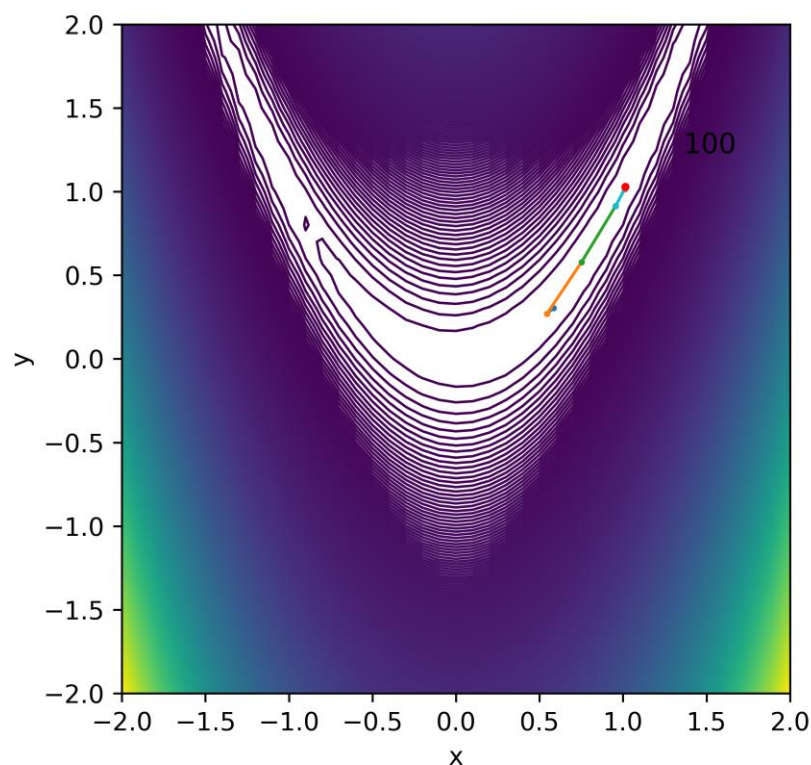


Рисунок 3 – Результат работы алгоритма на примере функции Розенброка на диапазоне [-2, 2]

Сферическая функция имеет один глобальный минимум в точке $f(x) = 0$, при $x = (0, \dots, 0)$. Она непрерывна, выпукла и определяется следующей формулой:

$$f(x) = \sum_{i=1}^d x^2_i. \quad (11)$$

Был найден минимум в точке $x_{\min} = (-2.2275964555040132e-11, -3.7236982367255786e-11)$, $f_{\min} = 1.8828114526767226e-21$ при заданных параметрах $\text{SearchAgents_no} = 100$, $\text{Max_iteration} = 100$, $\text{dim} = 2$, диапазон $[-1, 1]$. Стоит отметить, что алгоритм SAO хорошо справляется с нахождением минимума в точке $(0,0)$. Удалось достичь точность вычислений 10^{-10} .

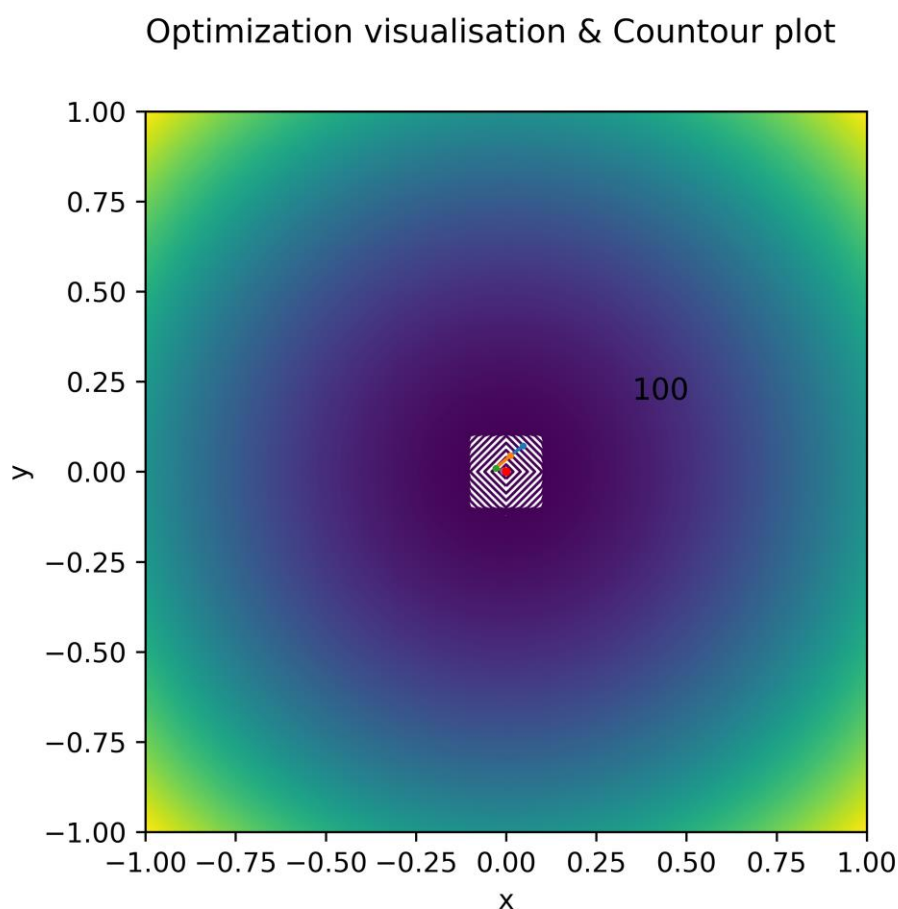


Рисунок 4 – Результат работы алгоритма на примере сферической функции на диапазоне $[-1, 1]$

При увеличении числа итераций алгоритм справляется лучше с нахождением глобального минимума функции сферы. Так, при задании максимального количества итераций 500 был найден минимум в точке $x_{\min} = (1.1448038935148984e-38, -1.2933363099038383e-38)$, $f_{\min} = 2.983294765122548e-76$. Удалось достичь точность в 10^{-37} . Результат работы алгоритма показан на рисунке 5.

Optimization visualisation & Countour plot

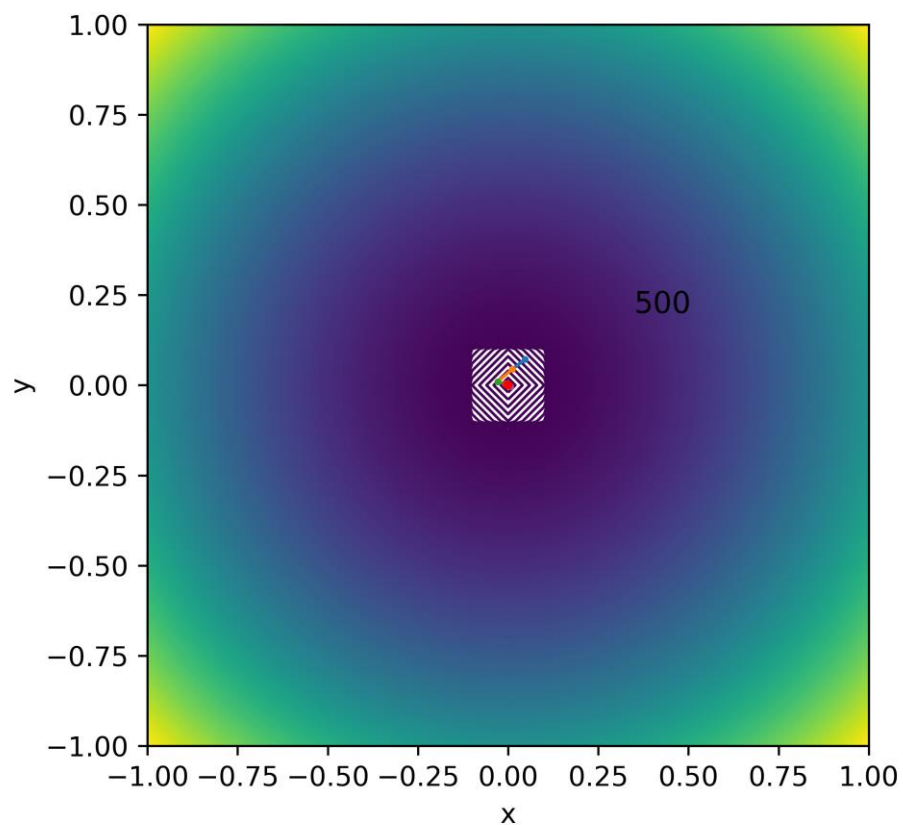


Рисунок 4 – Результат работы алгоритма на примере сферической функции на диапазоне $[-1, 1]$ на 500 итерациях

Функция Михалевича – это мультимодальная функция. Она сложна для минимизации, т.к. обладает несколькими локальными минимумами и несколькими плоскими областями, что затрудняет поиска одного глобального минимума функции. У функции Михалевича есть свободный параметр m , который контролирует крутизну долин. Большие значения m делают функцию более сложной для оптимизации. Наиболее распространённое значение для m — 10. Функция определяется следующим образом:

$$f(x) = - \sum_{i=1}^d \sin(x_i) \sin^{2m}\left(\frac{ix_i^2}{\pi}\right). \quad (12)$$

Глобальный минимум функции $f(x) = -1.8013$ в точке $x (2.20, 1.57)$.

Был найден минимум в $x_{\min} = (2.216606081713704, 1.5671971060840053)$, $f_{\min} = -1.7977167976479416$ при заданных параметрах $\text{SearchAgents_no} = 100$, $\text{Max_iteration} = 100$, $\text{dim} = 2$, диапазон $[0, 4]$. Удалось

достичь точность вычислений 10^{-1} . Результат работы алгоритма показан на рисунке 5.

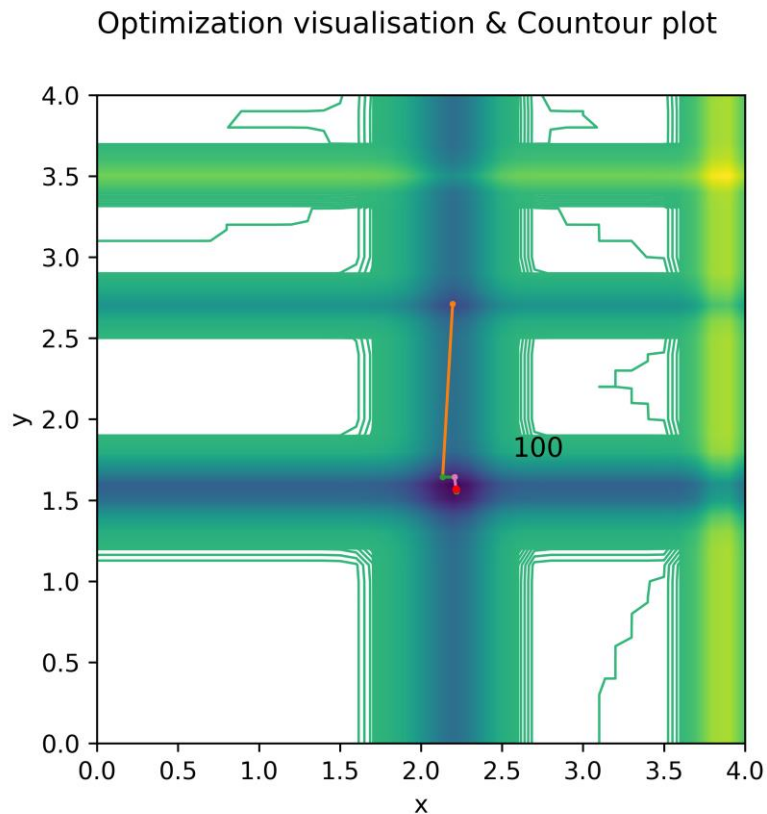


Рисунок 5 - Результат работы алгоритма на примере сферической функции на диапазоне $[0, 4]$ на 100 итерациях

Стоит отметить, что алгоритм SAO хорошо справляется с нахождением минимума в точке $(0,0)$. Удалось достичь точность вычислений 10^{-10} . Однако при параметрах $\text{SearchAgents_no} = 100$, $\text{Max_iteration} = 400$, $\text{dim} = 2$, диапазон $[0, 4]$ удалось достичь точности 10^{-1} при $x_{\min} = (2.2048649098914597, 1.5726717295941484)$, $f_{\min} = -1.8010983590858507$. Результат работы алгоритма показан на рисунке 6.

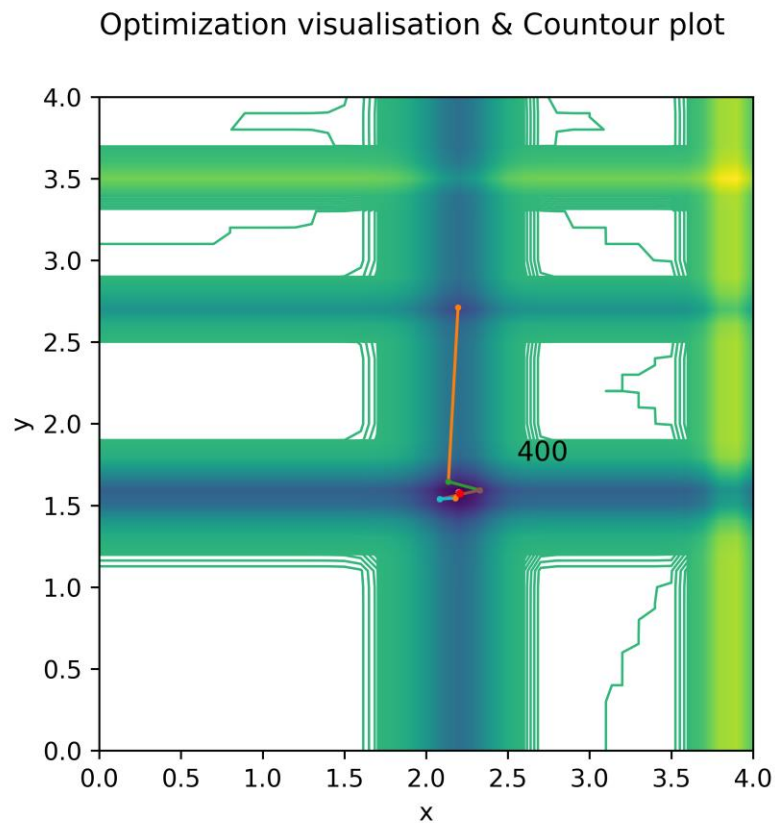


Рисунок 6 - Результат работы алгоритма на примере сферической функции на диапазоне $[0, 4]$ на 400 итерациях

Функция Захарова имеет только глобальный минимум в точке $f(x) = 0$ в точке $x(0, \dots, 0)$.

$$f(x) = \sum_{i=1}^d x_i^2 + \left(\sum_{i=1}^d 0.5ix_i \right)^2 + \left(\sum_{i=1}^d 0.5ix_i \right)^4. \quad (13)$$

Был найден минимум в $x_{\min} = (3.9582117071204123e-10, -1.1273854644619378e-10)$, $f_{\min} = 1.7663865525070851e-19$ при заданных параметрах SearchAgents_no = 100, Max_iteration = 100, dim = 2, диапазон $[-5, 10]$. Удалось достичь точность вычислений 10^{-9} . Результат работы алгоритма показан на рисунке 7.

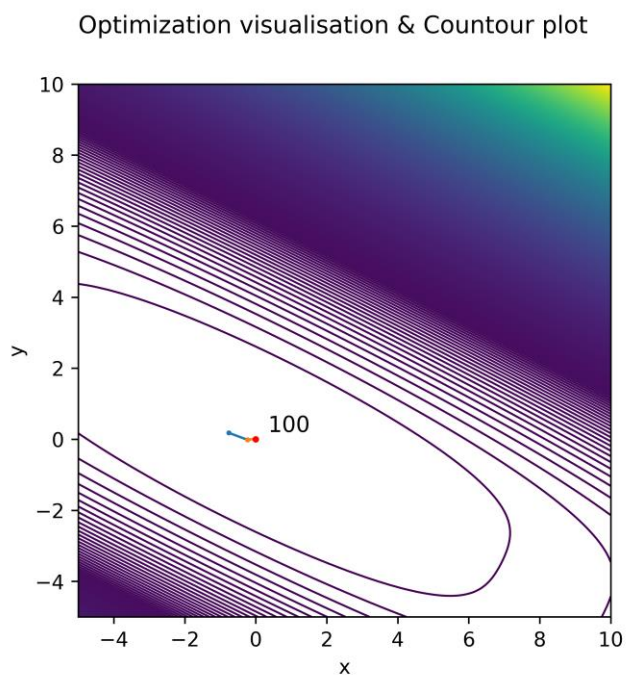


Рисунок 7 - Результат работы алгоритма на примере функции Захарова на диапазоне $[-5, 10]$ на 100 итерациях

Однако при параметрах $\text{SearchAgents_no} = 100$, $\text{Max_iteration} = 500$, $\text{dim} = 2$, диапазон $[-5, 10]$ удалось достичь точности 10^{-37} при $x_{\min} = (-2.3233707458124533\text{e-}38, 7.570570888754846\text{e-}40)$, $f_{\min} = 6.583134807517403\text{e-}76$ Результат работы алгоритма показан на рисунке 8.

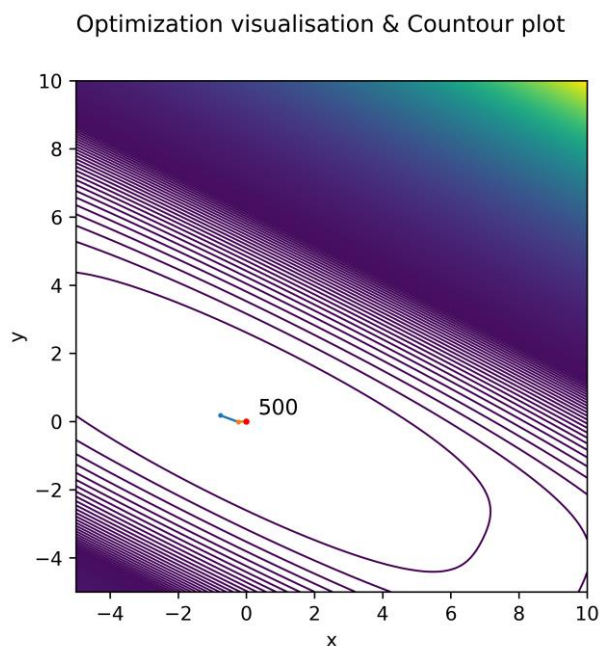


Рисунок 8 - Результат работы алгоритма на примере функции Захарова на диапазоне $[-5, 10]$ на 500 итерациях

Функция Гриуэнка имеет множество локальных минимумов. Имеет один глобальный минимум $f(x) = 0$ при $x = (0, \dots, 0)$. Функция определяется следующим образом:

$$f(x) = \sum_{i=1}^d \frac{x_i^2}{4000} - \prod_{i=1}^d \left(\frac{x_i}{\sqrt{i}} \right) + 1. \quad (14)$$

Был найден минимум в $x_{\min} = (2.97500906453891e-09, -9.289639364840276e-09)$, $f_{\min} = 0.0$ при параметрах SearchAgents_no = 100, Max_iteration = 100, dim = 2, диапазон [-50, 50]. Удалось достичь точность вычислений 10^{-8} . Результат работы алгоритма показан на рисунке 9.

Optimization visualisation & Countour plot

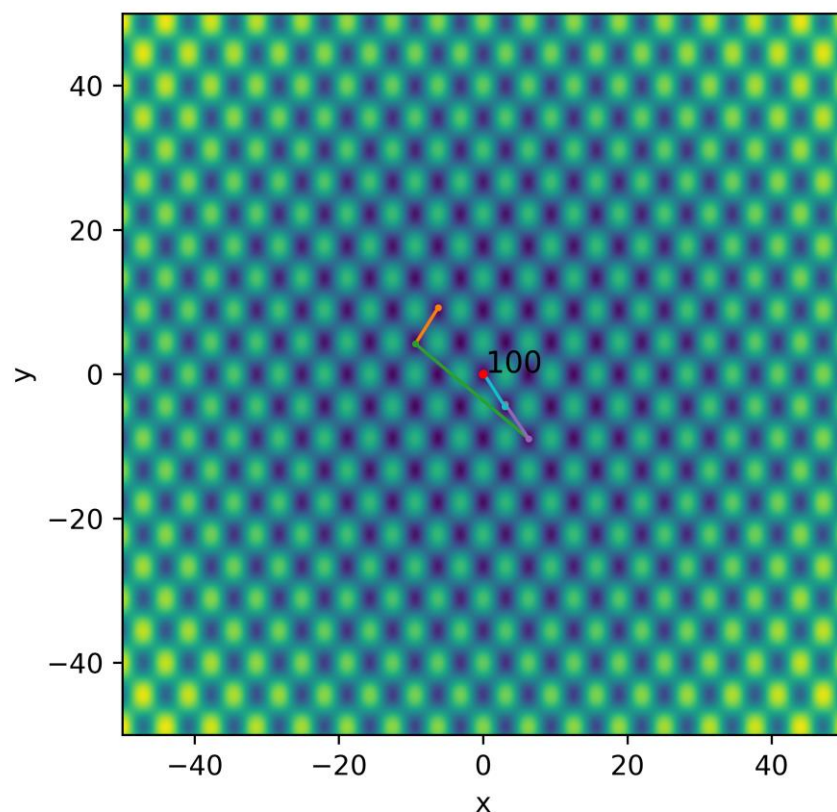


Рисунок 9 - Результат работы алгоритма на примере функции Гриуэнка на диапазоне [-50, 50] на 100 итерациях

Однако при параметрах SearchAgents_no = 100, Max_iteration = 500, dim = 2, диапазон [-50, 50] не удалось достичь большей точности вычислений. Был найден минимум в точке 10^{-37} при $x_{\min} = (5.6183702238020725e-09,$

-5.594429732884627e-09), $f_{\min} = 0.0$, $neval = 500$. Результат работы алгоритма показан на рисунке 10.

Optimization visualisation & Countour plot

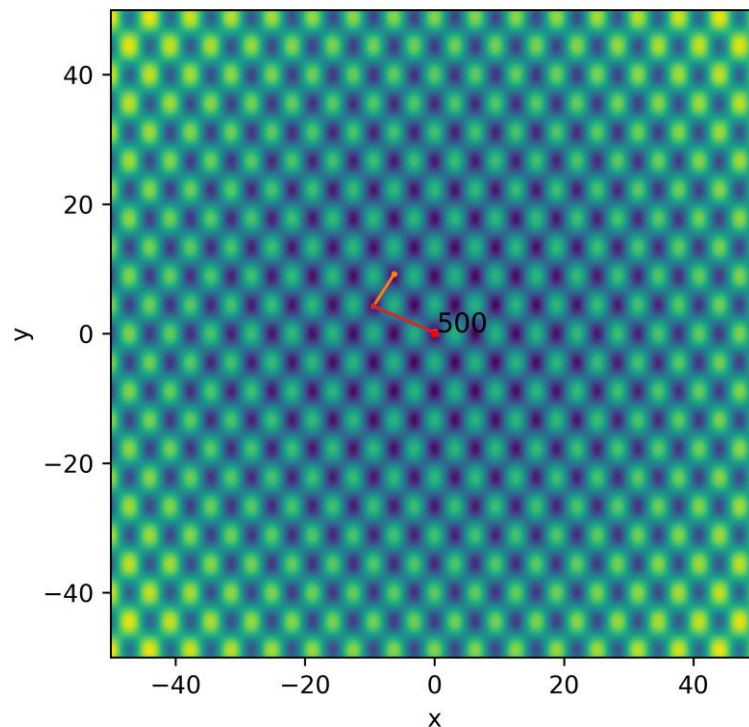


Рисунок 10 - Результат работы алгоритма на примере функции Гриуэнка на диапазоне $[-50, 50]$ на 500 итерациях

Вывод

В результате изучения алгоритма SAO были получены практические навыки по реализации метаэвристического алгоритма роевого интеллекта, вдохновленного процессами сублимации и таяния снега. К преимуществам алгоритма можно отнести его способность справляться с преждевременной сходимостью. К недостаткам можно отнести необходимость подбора параметров под каждую функцию. При этом задать нужное количество итераций, чтобы соблюсти баланс между разнообразием роя и его преждевременной сходимостью.

СПИСОК ЛИТЕРАТУРЫ

1. Lingyun D., Sanyang L. Snow ablation optimizer: A novel metaheuristic technique for numerical optimization and engineering design. *Expert Systems with Applications*, 2023, vol. 225.
2. Зорич В.А. К броуновскому движению // ИПМех РАН. – URL: <https://istina.ipmnet.ru/collections/304331907/> (дата обращения: 07.01.2025 г.).
3. SAO Project // Github. – URL: <https://github.com/annochka2710/SAO-problem-solution> (дата обращения: 11.01.2025 г.).
4. Virtual Library of Simulation Experiments: Test Functions and Datasets // Simon Fraser University. – URL: <https://www.sfu.ca/~ssurjano/optimization.html> (дата обращения: 07.01.2025 г.).